

## Оценка точности численного описания дифракционных эффектов в сильно фокусированных ультразвуковых пучках с использованием различных параболических моделей и способов постановки граничного условия

И. С. Мездрахин<sup>1,\*</sup>, П. В. Юлдашев<sup>2,†</sup>, В. А. Хохлова<sup>1,‡</sup>

<sup>1</sup>Московский государственный университет имени М.В.Ломоносова, физический факультет, кафедра акустики  
Россия, 119991, Москва, Ленинские горы, д. 1, стр. 2

<sup>2</sup>Московский государственный университет имени М.В.Ломоносова,  
физический факультет, кафедра общей физики и физики конденсированного состояния  
Россия, 119991, Москва, Ленинские горы, д. 1, стр. 2

(Статья поступила 06.07.2017; Подписана в печать 13.09.2017)

В работе описан алгоритм численного моделирования ультразвукового пучка, создаваемого аксиально-симметричным излучателем, с использованием широкоугольного приближения теории дифракции. Проводится сравнение результатов моделирования для сильно фокусирующего излучателя, полученных на основе следующих моделей: решения дифракционной задачи с помощью интеграла Рэля; параболического приближения теории дифракции; параболического приближения с модификацией граничного условия; широкоугольного приближения с использованием различных способов задания граничного условия.

PACS: 43.20.Vi. УДК: 534.2

Ключевые слова: дифракция, параболическое приближение, интеграл Рэля, медицинская акустика, аппроксимация Паде, ультразвуковая хирургия.

### ВВЕДЕНИЕ

В настоящее время различные методики ультразвукового воздействия на биологические ткани широко применяются во многих областях медицины [1]. Так, например, неинвазивное разрушение опухолей в различных органах, остановка внутренних кровотечений при травмах (ультразвуковой гемостаз) и ультразвуковая коррекция фигуры — далеко не полный список современных медицинских процедур, в которых используются сфокусированные ультразвуковые пучки. Методы численного моделирования при этом являются важной составляющей, необходимой для успешного развития новых медицинских технологий. В зависимости от параметров излучателя используются различные математические модели, описывающие те или иные волновые эффекты в рассматриваемых полях. Одной из распространенных и наиболее простых для моделирования моделей является параболическое приближение теории дифракции.

Однако его использование ограничено малыми углами фокусировки излучателя [2]. Для некоторых медицинских задач требуется достижение больших давлений в фокусе излучателя, поэтому такие излучатели делают сильно фокусирующими. В этом случае использование параболической модели приводит к ошибкам в определении параметров поля. Точность расчетов на основе параболической модели для сильно фокусированных пучков можно повысить с помощью моди-

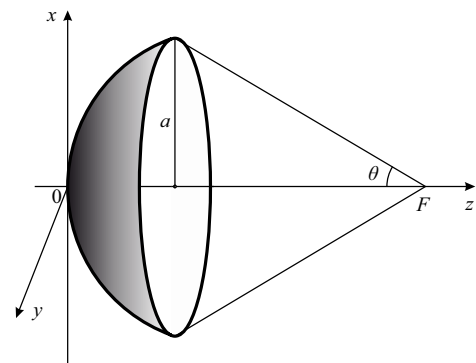


Рис. 1: Геометрия ультразвукового излучателя с апертурой  $2a$ , и фокусным расстоянием  $F$

фикации граничных условий [3]. Увеличить диапазон углов фокусировки можно также обобщив параболическую модель с помощью Паде аппроксимации точного дифракционного оператора; такое представление дифракционного оператора называется широкоугольной моделью. В недавней работе был описан метод использования широкоугольной модели для решения задач медицинского ультразвука [4]. В данной работе исследованы различные варианты постановки граничного условия для широкоугольного уравнения и проведено сравнение точности и эффективности следующих методов расчета поля ультразвукового источника: решения дифракционной задачи с помощью интеграла Рэля, параболического приближения дифракции, параболического приближения дифракции с модификацией граничных условий и широкоугольной модели с различными вариантами постановки граничных условий. В качестве примера рассматривается поле аксиально-симметричного сферического излучателя (рис. 1) с ра-

\*E-mail: mezdromhin@mail.ru

†E-mail: petr@acs366.phys.msu.ru

‡E-mail: vera@acs366.phys.msu.ru

диусом  $a = 5$  см, фокусным расстоянием  $F = 9$  см и частотой  $f = 1$  МГц. Угол фокусировки такого излучателя составляет  $\theta = 33.7^\circ$ , а коэффициент линейного усиления давления в фокусе относительно давления на его поверхности равен 64.

### 1. ТЕОРЕТИЧЕСКОЕ ОПИСАНИЕ ПАРАБОЛИЧЕСКОГО ПРИБЛИЖЕНИЯ ДИФРАКЦИИ

Решение дифракционной задачи можно получить с помощью интеграла Рэлея. [5]:

$$p(r) = -i\rho_0 c_0 \frac{k}{2\pi} \int_S \frac{u(\vec{r}') e^{ik|\vec{r} - \vec{r}'|}}{|\vec{r} - \vec{r}'|} dS, \quad (1)$$

где  $p$  — комплексная амплитуда акустического давления в точке наблюдения с радиус-вектором  $\vec{r}$ ,  $u$  — амплитуда нормальной компоненты скорости излучающей поверхности,  $\vec{r}'$  — радиус-вектор элемента поверхности  $dS$ ,  $k = \omega/c_0$  — волновое число,  $\rho_0$  — плотность среды,  $c_0$  — скорость звука. Интегрирование ведется вдоль поверхности  $S$ , представляющей собой сегмент сферы, ограниченный полярным углом  $\theta$  (рис. 1).

Рассматриваемые далее методы основываются на численном решении приближенных уравнений, получаемых из уравнения Гельмгольца [6]:

$$\Delta p + k^2 p = 0, \quad (2)$$

где  $\Delta$  — оператор Лапласа. Для медленно меняющейся амплитуды давления волны  $p(z, r) = \phi(z, r) e^{ikz}$ , распространяющейся преимущественно в направлении оси  $z$ , уравнение Гельмгольца может быть представлено в виде [7, 8]:

$$\frac{\partial \phi}{\partial z} = ik \left( \sqrt{1 + \hat{L}} - 1 \right) \phi, \quad (3)$$

где дифференциальный оператор  $\hat{L}$  для аксиально-симметричного пучка имеет вид:

$$\hat{L} = \frac{1}{k^2} \left( \frac{\partial^2 \phi}{\partial r^2} + \frac{1}{r} \frac{\partial \phi}{\partial r} \right), \quad (4)$$

где  $r$  — радиальная координата. Оператор  $\hat{Q} = \sqrt{1 + \hat{L}}$  является псевдодифференциальным оператором и представим в виде разложения в ряд Тейлора по оператору  $\hat{L}$ :

$$\hat{Q} = 1 + \sum_{n=1}^{\infty} a_n \hat{L}^n. \quad (5)$$

При удержании только первого и нулевого членов разложения (5),  $\hat{Q} \approx 1 + \hat{L}/2$ , из уравнения (3) можно получить стандартное параболическое уравнение [7]:

$$\frac{\partial \phi}{\partial z} = \frac{i}{2k} \left( \frac{\partial^2 \phi}{\partial r^2} + \frac{1}{r} \frac{\partial \phi}{\partial r} \right). \quad (6)$$

Для вывода широкоугольного параболического уравнения используется следующий прием [8]. Если оператор  $\hat{Q} = \sqrt{1 + \hat{L}}$  не зависит от координаты  $z$ , то решение уравнения (3) на шаге  $z + \Delta z$  выражается через решение на шаге  $z$  как:

$$\phi(z + \Delta z, r) = \exp \left[ ik\Delta z \left( \sqrt{1 + \hat{L}} - 1 \right) \right] \phi(z, r) \quad (7)$$

где оператор  $\hat{A} = \exp \left[ ik\Delta z \left( \sqrt{1 + \hat{L}} - 1 \right) \right]$  называется пропагатором. Также как и оператор  $\hat{Q}$ , пропагатор  $\hat{A}$  может быть аппроксимирован несколькими первыми членами ряда Тейлора по оператору  $\hat{L}$ . Однако слагаемые ряда Тейлора  $\hat{L}^n$  высокого порядка неудобны при решении уравнения с помощью численных методов. Поэтому пропагатор представляют в виде отношения двух полиномов степени  $N$ , т.е. в виде аппроксимации Паде [6]:

$$\hat{A} = \frac{a_0 + a_1 \hat{L} + \dots + a_N \hat{L}^N}{b_0 + b_1 \hat{L} + \dots + b_N \hat{L}^N}. \quad (8)$$

Коэффициенты аппроксимации Паде могут быть найдены, если известны коэффициенты слагаемых ряда Тейлора до номера  $2N$  включительно. Для последующего решения пропагатор  $\hat{A}$  представляется в виде:

$$\hat{A} = a_0 \prod_{n=1}^N (1 + \mu_n \hat{L}) / b_0 \prod_{n=1}^N (1 + \nu_n \hat{L}), \quad (9)$$

где  $\mu_n = -1/\alpha_n$ ,  $\nu_n = -1/\beta_n$ , а  $\alpha_n$  и  $\beta_n$  — корни полиномов, стоящих в числителе и знаменателе аппроксимации Паде. Такое представление пропагатора допускает на каждом шаге процедуру решения вида:

$$(1 + \nu_n \hat{L}) \phi^{n+1}(z + \Delta z, r) = (1 + \mu_n \hat{L}) \phi^n(z, r), \quad (10)$$

для которой возможно построение простой конечно-разностной численной схемы типа схемы Кранка-Николсона.

### 2. ПОСТАНОВКА ГРАНИЧНЫХ УСЛОВИЙ

Для параболической и широкоугольной моделей необходимо задание граничных условий на некоторой плоскости, расположенной перпендикулярно оси пучка. Для стандартного параболического уравнения граничное условие, как правило, задается в плоскости  $z = 0$  (рис. 2) и описывается выражением:

$$p(r, 0) = p_0 \exp(-ik_0 r^2 / 2F), \quad r \leq a$$

$$p(r, 0) = 0, \quad r > a \quad (11)$$

где  $a$  — радиус излучателя,  $F$  — его фокусное расстояние (рис. 1). Для повышения точности расчета поля в фокальной области излучателя используется модель эквивалентного излучателя, в которой амплитуда

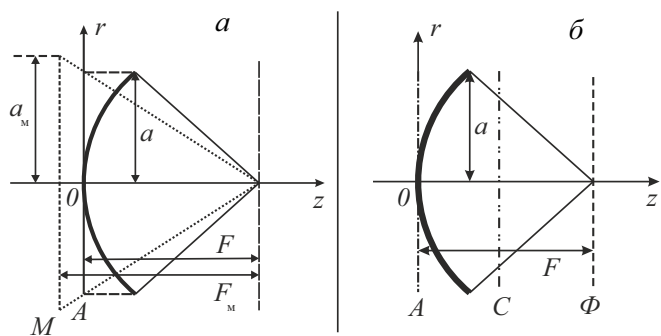


Рис. 2: Способы постановки граничных условий в различных моделях описания ультразвукового пучка, создаваемого фокусирующим излучателем в виде сферического сегмента с частотой 1 МГц, радиусом 5 см и фокусным расстоянием 9 см. Для параболического уравнения:  $a$  — равномерное распределение амплитуды давления на плоскости «А», проходящей через центр излучателя, и на плоскости «М» для эквивалентного источника. Для широкоугольного параболического уравнения:  $b$  — перенос поля с поверхности излучателя на плоскость «С» либо на плоскость «Ф» с использованием интеграла Рэлея, затем на плоскость «А» с использованием либо метода углового спектра, либо его широкоугольного приближения

давления на излучателе  $p_m$ , его радиус  $a_m$  и фокусное расстояние  $F_m$  подбираются таким образом, чтобы обеспечить одинаковое давление в фокусе и положение первых дифракционных нулей поля в сравнении с решением (1) [3]. Для постановки граничных условий широкоугольной параболической модели предлагается следующий алгоритм действий: сначала, с помощью интеграла Рэлея рассчитывается поле в некото-

рой плоскости, лежащей между источником и фокусом, или в фокальной плоскости. Далее поле переносится на плоскость в основании излучателя, используя либо метод углового спектра, либо его широкоугольный аналог (рис. 2).

### 3. РЕЗУЛЬТАТЫ МОДЕЛИРОВАНИЯ

Результаты сравнения точности различных приближенных методов представлены на рис. 3. Видно, что параболические методы, как стандартный, так и с модификацией граничных условий ( $a, b$ ) заметно уступают в точности широкоугольному подходу ( $v, z$ ). Для широкоугольной модели точнее оказывается решение с обратным переносом граничного условия из фокальной плоскости, независимо от метода переноса.

### ЗАКЛЮЧЕНИЕ

В работе показано, что широкоугольное параболическое приближение теории дифракции позволяет рассчитывать сильно сфокусированные поля с точностью, превышающей точность стандартной и модифицированной параболических моделей. При этом время вычислений остаётся того же порядка, что и для параболических моделей, что делает широкоугольное приближение полезным для моделирования дифракционных эффектов в задачах медицинской акустики.

Работа поддержана грантом РФФИ № 14-12-00974.

- [1] Хилл К., Бэмбер Дж., тер Хаар Г. (ред.). «Ультразвук в медицине. Физические основы применения». М.: Физматлит, 2008.  
 [2] Tjøtta J., Tjøtta S., Vefring E. J. *Acoust. Soc. Am.* 1991. **89**, №3, P. 1017.  
 [3] Росницкий П. Б. *Акуст. журн.* **62**, № 2, С. 153.  
 [4] Мездрохин И. С., Юлдашев П. В., Хохлова В. А. *Ученые записки физического ф-та Московского ун-та.* 2016. № 6. С. 166702.

- [5] Rayleigh J. W. S. «The theory of sound». Dover, New York, 1945. II. P. 47.  
 [6] Виноградова М. Б., Руденко О. В., Сухоручков А. П. *Теория волн.* 1979. С. 384.  
 [7] Collins M. D. J. *Acoust. Soc. Am.* 1993. **93**, N 6. P.1736.  
 [8] Yevick D., Thomson D. J. *Acoust. Soc. Am.* 2000. **108**, N 6. P. 2784.

## Estimation of the accuracy of the numerical description of diffraction effects in highly focused ultrasonic beams using various parabolic models and methods for setting the boundary condition

I. S. Mezdrokhin<sup>1,a</sup>, P. V. Yuldashev<sup>2,b</sup>, V. A. Khokhlova<sup>1,c</sup>

<sup>1</sup>Department of Acoustics, Faculty of Physics, Lomonosov Moscow State University

<sup>2</sup>Department of General and Condensed Matter Physics, Faculty of Physics, Lomonosov Moscow State University  
 Moscow 119991, Russia

E-mail: <sup>a</sup>mezdrokhin@mail.ru, <sup>b</sup>petr@acs366.phys.msu.ru, <sup>c</sup>vera@acs366.phys.msu.ru

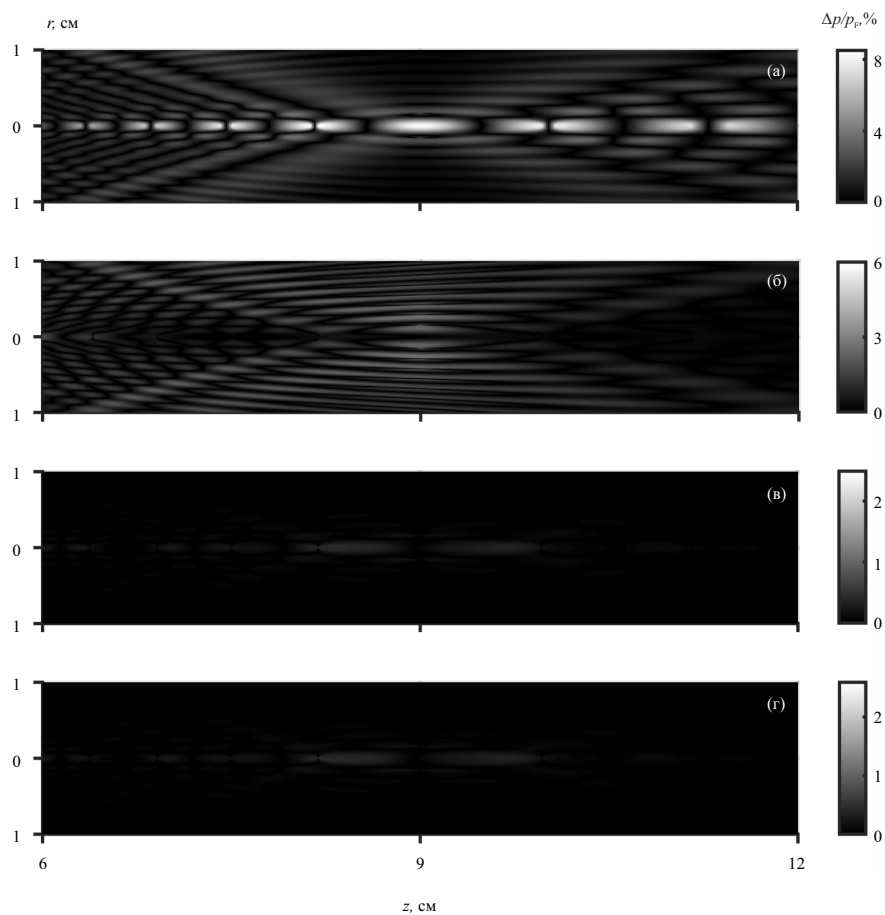


Рис. 3: Двумерное распределение разности амплитуд давлений в точном и приближенных решениях, отнесенной к амплитуде давления в фокусе в точном решении. Параболическое уравнение: *a* — со стандартным граничным условием, *б* — с модифицированным граничным условием; широкоугольное параболическое уравнение: *в* — с обратным переносом с помощью метода углового спектра, *г* — с обратным переносом с помощью широкоугольного параболического приближения

A numerical algorithm based on the wide-angle parabolic approximation for modeling diffraction effects in strongly focused ultrasound beams is presented. The accuracy of the proposed approach is evaluated and compared with other diffraction approaches: the Rayleigh integral solution; parabolic approximation solution with and without modification of the boundary condition; wide-angle parabolic approximation with different ways of setting a boundary condition.

PACS: 43.20.Bi.

*Keywords:* diffraction, parabolic approximation, Rayleigh integral, medical acoustics, Pade approximation, ultrasonic surgery.

*Received 06 July 2017.*

#### Сведения об авторах

1. Мездрохин Илья Сергеевич — студент, e-mail: mezdrokhin@mail.ru.
2. Юлдашев Петр Викторович — канд. физ.-мат. наук, ст. преподаватель; тел.: (495) 939-29-52, e-mail: petr@acs366.phys.msu.ru.
3. Хохлова Вера Александровна — доктор физ.-мат. наук, доцент; тел.: (495) 939-29-52, e-mail: vera@acs366.phys.msu.ru.